

## Анализ напряженного состояния круглого тонкостенного цилиндра при сложном нагружении и нелинейном упрочнении материала

И. В. Хромов

Севастопольский национальный технический университет, Севастополь, Украина

*С использованием кинематической модели Прагера получены обобщенные дифференциальные уравнения пластического течения для материала с нелинейным упрочнением. Приведен пример численного анализа изменения напряжений при упругопластическом деформировании тонкостенного цилиндра из конструкционной углеродистой стали для различных моделей упругопластического материала.*

**Ключевые слова:** плоское напряженное состояние, кинематическая модель упругопластических деформаций, уравнения пластического течения, нелинейное упрочнение.

**Введение.** Задача о сложном нагружении круглого тонкостенного цилиндра является одним из примеров, используемых для сравнения различных вариантов математической модели упругопластического материала. При воздействии продольной силы  $P$  и крутящего момента  $M$  материал круглого цилиндра находится в условиях однородного плоского напряженного состояния с компонентами напряжений  $\sigma$ ,  $\tau$  и деформаций  $\varepsilon$ ,  $\gamma$  (рис. 1,а). Для пластической стадии нагружения различают линейную и нелинейную, в том числе ломаную, траектории деформирования. В первом случае деформации материала возрастают пропорционально одному параметру ( $\gamma/\varepsilon = \text{const}$ , на рис. 1,б луч  $OO_1$ ). Всякий другой путь является кусочно-нелинейным (на рис. 1,б линии  $OAB$ ,  $OC$ ).

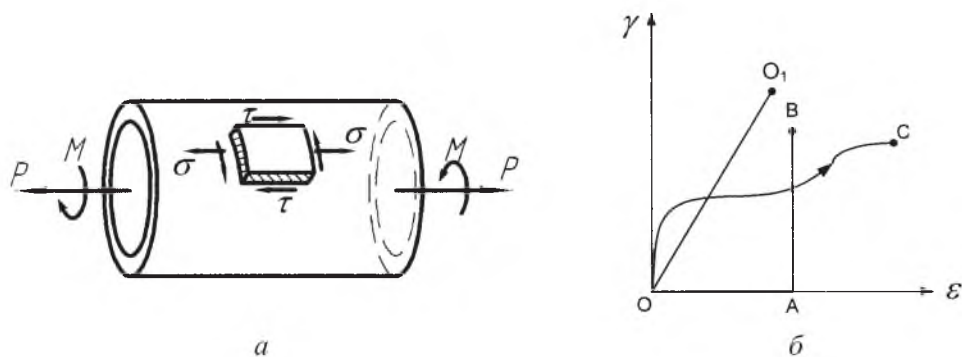


Рис. 1. Растяжение и кручение тонкостенного цилиндра: а – схема нагружения; б – траектории деформирования материала.

При линейной траектории деформирования, как известно [1–4], достаточно использовать деформационную теорию пластичности. Тогда в рассматриваемой задаче для идеального материала без упрочнения можно получить следующие конечные соотношения (уравнения Генки):

$$\sigma = \frac{\sigma_T}{\sqrt{1 + \frac{b^2}{3}}}; \quad \tau = \frac{\sigma_T \frac{b}{3}}{\sqrt{1 + \frac{b^2}{3}}}, \quad (1)$$

где  $b = \gamma/\varepsilon = \text{const}$ ;  $\sigma_T$  – предел текучести, причем напряжения удовлетворяют условию текучести Мизеса  $\sigma^2 + 3\tau^2 = \sigma_T^2$ .

Известно, что для процессов с нелинейной траекторией деформирования применение деформационной теории может приводить к неудовлетворительным результатам. При решении таких задач более эффективно использовать теорию пластического течения [1–4]. Уравнения пластического течения являются дифференциальными зависимостями, которые в общем случае не могут быть приведены к конечным аналитическим формулам, т.е. напряжения в конечном состоянии существенно зависят от всей “истории” деформирования. Применительно к данной задаче в литературных источниках представлены два варианта уравнений пластического течения:

уравнения Прандтля–Рейса [1, 3] для идеального несжимаемого материала без упрочнения (на рис. 2 диаграмма растяжения 1):

$$d\sigma = E \left( 1 - \frac{\sigma^2}{\sigma_T^2} \right) d\varepsilon - E \frac{\sigma\tau}{\sigma_T^2} d\gamma, \quad d\tau = \frac{E}{3} \left( 1 - \frac{3\tau^2}{\sigma_T^2} \right) d\gamma - E \frac{\sigma\tau}{\sigma_T^2} d\varepsilon, \quad (2)$$

где  $E$  – модуль упругости материала,

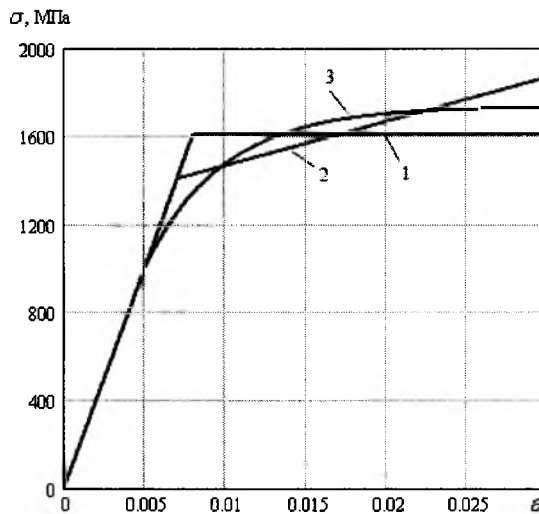


Рис. 2. Расчетные диаграммы растяжения холоднотянутой канатной проволоки (конструкционная углеродистая сталь) для различных вариантов модели упрочнения: 1 – без упрочнения; 2, 3 – соответственно линейное и нелинейное упрочнение.

и для идеального материала с линейным упрочнением [5] (на рис. 2 диаграмма растяжения 2):

$$d\sigma = E \left( 1 - K \frac{\sigma^2}{\sigma_T^2} \right) d\varepsilon - EK \frac{\sigma\tau}{\sigma_T^2} d\gamma, \quad d\tau = \frac{E}{3} \left( 1 - K \frac{3\tau^2}{\sigma_T^2} \right) d\gamma - EK \frac{\sigma\tau}{\sigma_T^2} d\varepsilon, \quad (3)$$

где  $K$  – функция, зависящая от коэффициента упрочнения материала  $\lambda = \text{const}$ ,  $K = \frac{1-\lambda}{(1-\lambda q)^2}$ ;  $q$  – параметр, характеризующий предыдущую пластическую деформацию материала.

Действительная диаграмма растяжения пластичных материалов за пределами упругого нагружения, в том числе конструкционной углеродистой стали (на рис. 2 диаграмма 3), имеет явно выраженный нелинейный характер. Поэтому расчеты напряженного состояния на основе уравнений (2), (3) могут иметь погрешность, недопустимую для определенного класса задач технологической механики.

Цель настоящей работы – теоретический анализ и численное решение задачи о сложном нагружении тонкостенного круглого цилиндра с учетом нелинейного характера упрочнения пластичного материала.

**Методика анализа.** Для наглядного представления изменения напряжений и вывода обобщенных уравнений используем традиционную геометрическую интерпретацию условия текучести в виде поверхности нагружения (поверхности текучести). Поверхность нагружения в пространстве напряжений  $\sigma_{ij}$  разделяет в данном состоянии материала области упругих и пластических деформаций (рис. 3). Начало координат  $O$  соответствует нулевым напряжениям. Догружение приводит либо к упругой деформации, если вектор  $d\sigma_{ij}$  направлен внутрь поверхности или по касательной к поверхности, либо к пластической, если вектор  $d\sigma_{ij}$  направлен наружу. При наличии упрочнения материала поверхность нагружения может смещаться относительно точки  $O$  и изменять свою форму (кинематическая модель Прагера) [1, 5].

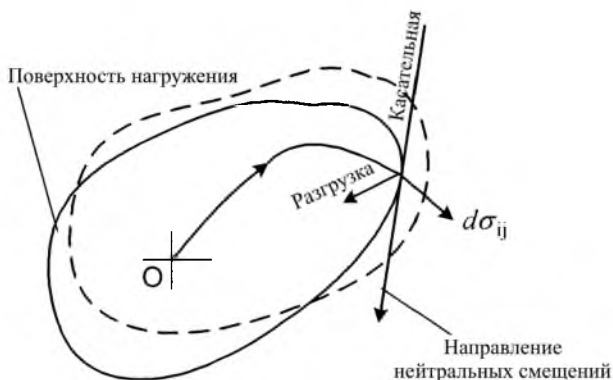


Рис. 3. Поверхность нагружения и кинематическая модель упругопластических деформаций.

Трансформация поверхности нагружения, т.е. связь между напряжениями и деформациями, зависит от принятой модели упругопластического материала. Далее используем гипотезу изотропного упрочнения, когда поверхность нагружения расширяется изотропно.

**Уравнения пластического течения для материала с нелинейным упрочнением.** Следуя указанной выше методике, рассмотрим вывод уравнений, описывающих связь между напряжениями и деформациями материала в малой окрестности произвольной точки поперечного сечения тонкостенной трубы. Для упрощения дальнейших преобразований используем:

$$\text{безразмерные нормальное } \tilde{\sigma} = \frac{\sigma}{\sigma_T} \text{ и касательное } \tilde{\tau} = \frac{\tau}{\tau_T} \text{ напряжения;} \quad (4)$$

$$\text{приведенные деформации удлинения } \tilde{\varepsilon} = \frac{\varepsilon}{\varepsilon_T} \text{ и сдвига } \tilde{\gamma} = \frac{\gamma}{\gamma_T}, \quad (5)$$

где  $\varepsilon_T = \sigma_T/E$ ,  $\gamma_T = \tau_T/G$  – деформации удлинения и сдвига, соответствующие пределам текучести материала.

Согласно модели Прагера, введем неподвижную  $\tilde{\varepsilon}$ ,  $\tilde{\gamma}$  и подвижную  $\bar{\sigma}$ ,  $\bar{\tau}$  системы координат (рис. 4). Поверхность нагружения (окружность) соединена в точке  $O$  (рис. 4) с подвижной системой и описывается уравнением (условие текучести)

$$\bar{\sigma}^2 + \bar{\tau}^2 = \varphi^2, \quad (6)$$

где  $\varphi = \varphi(\eta_n)$  – переменный радиус окружности, зависящий от нормальной составляющей полной деформации  $\eta_n$ .

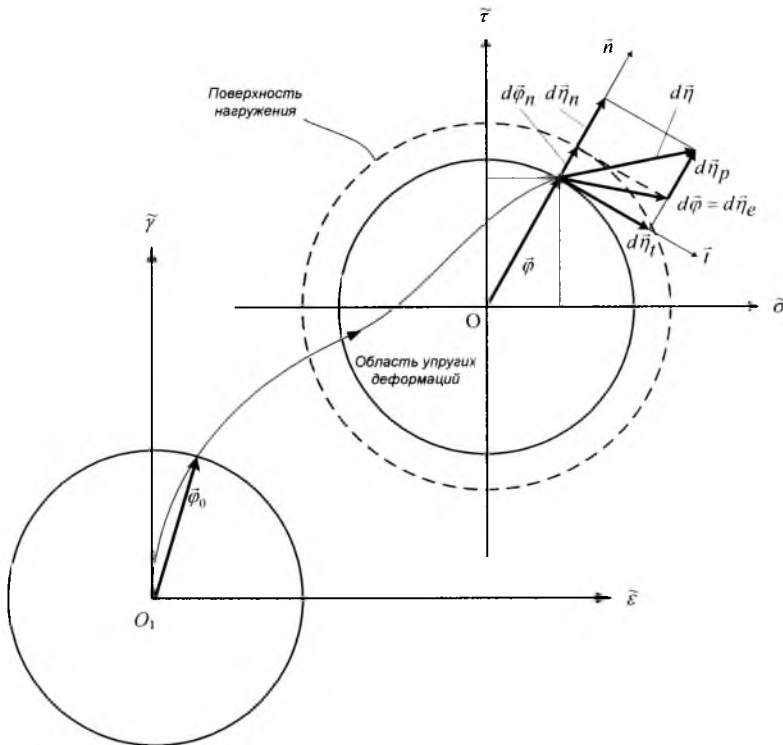


Рис. 4. Кинематическая модель пластического течения материала при совместном растяжении и сдвиге.

Пусть в некоторый момент времени напряженное состояние определяется вектором  $\bar{\varphi}$  с компонентами  $\bar{\sigma}$ ,  $\bar{\tau}$ , которые удовлетворяют условию пластичности (6). Зададим бесконечно малый вектор приведенной деформации  $d\bar{\eta}$  с компонентами  $d\bar{\varepsilon}$ ,  $d\bar{\gamma}$ . Вектор можно представить в виде суммы  $d\bar{\eta} = d\bar{\eta}_e + d\bar{\eta}_p$ . Из рис. 4 видно, что пластическая составляющая вектора деформации  $d\bar{\eta}_p$  вызывает перемещение подвижной системы координат и поверхности текучести в пространстве деформаций  $\bar{\varepsilon}$ ,  $\bar{\gamma}$ , а упругая составляющая  $d\bar{\eta}_e$  – изменение вектора напряжений согласно закону Гука:

$$d\bar{\varphi} = d\bar{\eta}_e = d\bar{\eta} - d\bar{\eta}_p. \quad (7)$$

При этом изменение вектора напряжений происходит вследствие нейтрального смещения по касательной к поверхности нагружения (поворот вектора напряжений  $\bar{\varphi}$ ) и расширения поверхности (изменение модуля вектора напряжений  $d\varphi = d\varphi_n$ ). Для учета нелинейного характера упрочнения (расширения поверхности) введем понятие мгновенного коэффициента упрочнения

$$\lambda(\eta_n) = \frac{d\varphi_n}{d\eta_n} = \frac{d\varphi}{d\eta_n}, \quad (8)$$

характеризующего интенсивность изменения радиуса поверхности текучести  $\varphi(\eta_n)$ .

Если функция (8) известна, то приращение пластической составляющей вектора деформаций, как следует из рис. 4, определяется по формуле

$$d\bar{\eta}_p = d\bar{\eta}_n - d\bar{\varphi}_n = d\bar{\eta}_n - \lambda(\eta_n)d\bar{\eta}_n = (1 - \lambda(\eta_n))d\bar{\eta}_n. \quad (9)$$

Нормальную составляющую вектора приращения деформаций выразим через нормальный единичный вектор и скалярное произведение векторов  $\bar{n}$  и  $d\bar{\eta}$  (рис. 4):

$$d\bar{\eta}_n = (\bar{n} \cdot d\bar{\eta})\bar{n} = \left( \frac{\bar{\varphi}}{\varphi} \cdot d\bar{\eta} \right) \frac{\bar{\varphi}}{\varphi} = \frac{1}{\varphi^2} (\bar{\varphi} \cdot d\bar{\eta}) \bar{\varphi}.$$

Тогда равенство (9) с учетом (8) преобразуется к виду

$$d\bar{\eta}_p = \left( 1 - \frac{d\varphi}{d\eta_n} \right) \frac{1}{\varphi^2} (\bar{\varphi} \cdot d\bar{\eta}) \bar{\varphi} = K(\eta_n) (\bar{\varphi} \cdot d\bar{\eta}) \bar{\varphi}, \quad (10)$$

где  $K(\eta_n)$  – функция, учитывающая нелинейный характер упрочнения материала,

$$K(\eta_n) = \left( 1 - \frac{d\varphi}{d\eta_n} \right) \frac{1}{\varphi(\eta_n)^2}. \quad (11)$$

Подставив (10) в (7), получим искомое соотношение между приращениями напряжений и деформаций в векторном виде:

$$d\vec{\varphi} = d\vec{\eta} - K(\eta_n)(\vec{\varphi} \cdot d\vec{\eta})\vec{\varphi}. \quad (12)$$

Спроектировав обе части этого равенства на оси координат (рис. 4), получим безразмерные скалярные уравнения:

$$\begin{aligned} d\bar{\sigma} &= (1 - K(\eta_n)\bar{\sigma}^2)d\bar{\varepsilon} - K(\eta_n)\bar{\sigma}\bar{\tau}d\bar{\gamma}; \\ d\bar{\tau} &= -\bar{\sigma}\bar{\tau}d\bar{\varepsilon} + (1 - K(\eta_n)\bar{\tau}^2)d\bar{\gamma}. \end{aligned} \quad (13)$$

С учетом обозначений (4), (5) последние уравнения окончательно запишем в размерном виде:

$$d\sigma = E \left( 1 - K(\eta_n) \frac{\sigma^2}{\sigma_T^2} \right) d\varepsilon - EK(\eta_n) \frac{\sigma\tau}{\sigma_T^2} d\gamma; \quad (14)$$

$$d\tau = -EK(\eta_n) \frac{\sigma\tau}{\sigma_T^2} d\varepsilon + \frac{E}{3} \left( 1 - K(\eta_n) \frac{3\tau^2}{\sigma_T^2} \right) d\gamma. \quad (15)$$

Рассмотрим отмеченные выше два примера. Если в (11) принять  $\lambda = \frac{d\varphi}{d\eta_n} = 0$  и  $\varphi(\eta_n) = 1$  (упрочнение отсутствует), то (13) преобразуются в уравнения (2). При линейном упрочнении имеем  $\lambda = \frac{d\varphi}{d\eta_n} = \text{const}$ ,  $\varphi(\eta_n) = 1 + \lambda\eta_n$ . Тогда из (13) следуют уравнения (3). Таким образом, уравнения пластического течения (13) с учетом (11) являются естественным обобщением известных уравнений для материала с произвольной функцией изотропного упрочнения.

**Численный пример анализа напряженного состояния стального цилиндра.** Рассмотрим тонкостенный цилиндр из конструкционной углеродистой стали. Предположим, что свойства стали моделируются с помощью диаграмм растяжения, приведенных на рис. 2. Для аналитического описания этих диаграмм использовали три варианта аппроксимирующих функций [6]:

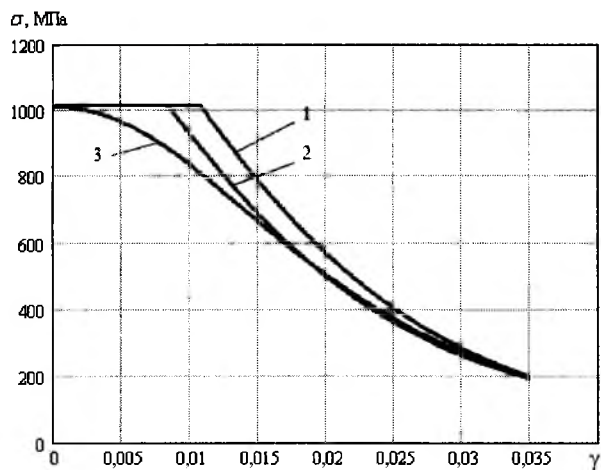
для диаграммы 1:  $\sigma = if(\varepsilon < \varepsilon_{T1}, E\varepsilon, \sigma_{T1})$ , где  $\sigma_{T1} = 1608$  МПа,  $E = 2 \cdot 10^5$  МПа,  $\lambda = 0$ ;

для диаграммы 2:  $\sigma = if(\varepsilon < \varepsilon_{T2}, E\varepsilon, \sigma_{T2} + \lambda E(\varepsilon - \varepsilon_{T2}))$ , где  $\sigma_{T2} = 1406$  МПа,  $\lambda = 0$ ;

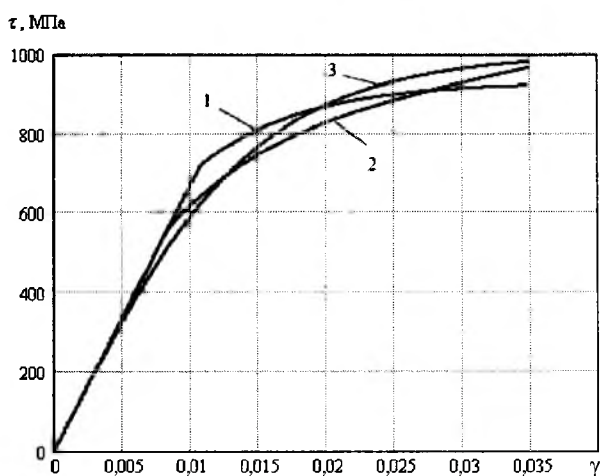
для диаграммы 3:  $\sigma = if(\varepsilon < \varepsilon_{T3}, E\varepsilon, \sigma_{T3} + \sigma_0(1 - a^{\gamma(\varepsilon - \varepsilon_{T3})}))$ , где  $\sigma_{T3} = 1009$  МПа,  $\sigma_0 = 723$  МПа,  $a = 0,376$ ,  $\gamma = 213$ .

Пусть деформирование цилиндра происходит в два этапа (по аналогии с нелинейной траекторией *OAB* на рис. 1,б): чистое растяжение до величины относительного удлинения  $\varepsilon_1 = 0,005$  ( $\varepsilon_1 = \varepsilon_{T3}$  для диаграммы 3, рис. 2) и чистый сдвиг до деформации  $\gamma_2 = 0,035$ . На первом этапе деформирования материал цилиндра находится в упругом состоянии, и напряжения определяются согласно закону Гука. На втором этапе, в зависимости от принятой

расчетной модели, материал может переходить из упругого состояния в пластическое. Поэтому для расчета напряжений использовали дифференциальные уравнения пластического течения (2), (3) и (14). Численное интегрирование и графическую обработку результатов выполняли с помощью компьютерных технологий. Расчетные зависимости нормальных и касательных напряжений от деформации сдвига на втором этапе нагружения цилиндра приведены на рис. 5.



а



б

Рис. 5. Расчетные зависимости изменения нормальных (а) и касательных (б) напряжений в процессе упругопластической деформации сдвига при различных вариантах модели упрочнения: 1 – без упрочнения; 2, 3 – соответственно линейное и нелинейное упрочнение.

**Заключение.** Результаты расчетов в переходной упругопластической области, полученные на основе нелинейной модели упрочнения и обобщенных уравнений пластического течения, могут на 5...20% отличаться от данных аналогичных расчетов с использованием упрощенных кусочно-линейных диаграмм растяжения и соответствующих им уравнений течения. Таким

образом, применение нелинейной модели упрочнения при моделировании сложного нагружения позволяет существенно уточнить результаты численного анализа напряженного состояния материала в упругопластической области.

## Резюме

Из використанням кінематичної моделі Прагера отримано узагальнені диференціальні рівняння пластичної течії для матеріалу з нелінійним зміцненням. Наведено приклад числового аналізу зміни напруг за пружно-пластичного деформування тонкостінного циліндра з конструкційної вуглецевої сталі для різних моделей пружно-пластичного матеріалу.

1. Качанов Л. М. Основы теории пластичности. – М.: Наука, 1969. – 420 с.
2. Соколовский В. В. Теория пластичности. – М.: Высш. шк., 1969. – 608 с.
3. Филин А. П. Прикладная механика твердого деформируемого тела. Т. 1. – М.: Наука, 1975. – 832 с.
4. Reckling K. A. Plastizitätstheorie und ihre Anwendung auf Festigkeitsprobleme. – Berlin: Springer-Verlag, 1967. – 361 s.
5. Хромов В. Г. Механика процесса холодной упругопластической деформации стержня: Учеб. пособие. – Киев: УМК ВО, 1990. – 50 с.
6. Хромов В. Г., Хромов И. В. Выбор аппроксимирующей функции для диаграммы растяжения материала в задачах технологической механики стержня // Вестн. СевГТУ. Механика, энергетика, экология. – 2007. – Вып. 80. – С. 20 – 22.

Поступила 08. 01. 2008